

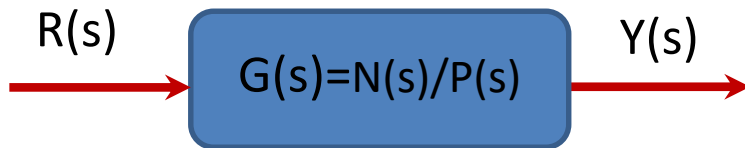
Control y Servomecanismos A

Control Automático I

Tema: Estabilidad – Diagramas de Bode

Cursada Virtual 2020
F. Valenciaga

Conceptos de Estabilidad



Entrada Acotada – Salida Acotada

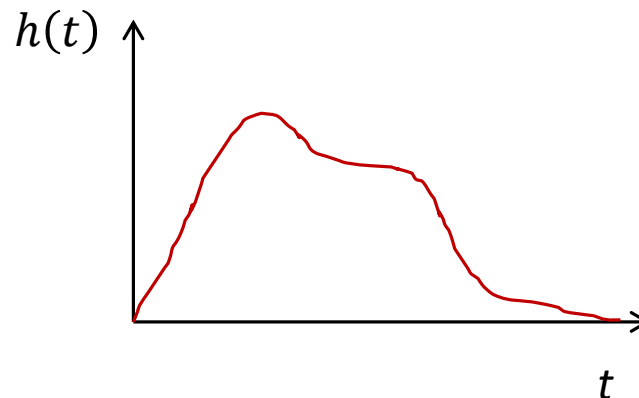
Criterios de ESTABILIDAD



BIBO

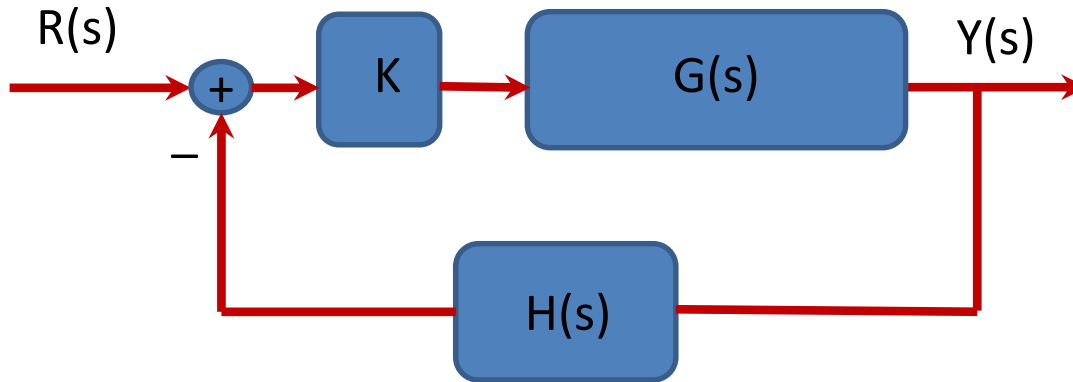
(Bounded Input – Bounded Output)

$$\int_{-\infty}^{\infty} |h(t)| dt < \infty \quad \text{donde} \quad h(t) = \mathcal{L}^{-1}\{G(s)\} \longrightarrow \lim_{t \rightarrow \infty} h(t) = 0$$



Conceptos de Estabilidad

Transferencia Lazo Cerrado



$$T(s) = \frac{Y(s)}{R(s)} = \frac{KG(s)}{1 + KG(s)H(s)}$$

Ec. Característica

$$1 + KG(s)H(s) = 0$$

Análisis de ESTABILIDAD

Criterio de Routh

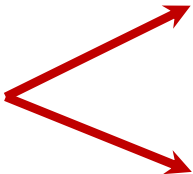
Lugar de las Raíces

Criterio de Bode

Criterio de Nyquist

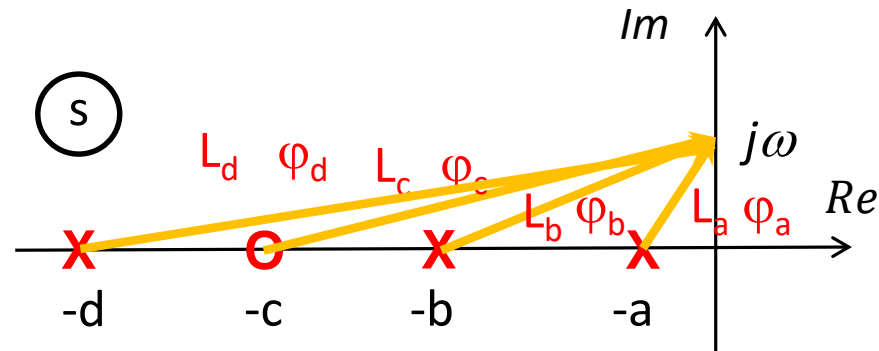
Criterio de BODE

- Permite establecer márgenes de estabilidad relativa de un sistema a lazo cerrado a partir de la gráfica de respuesta en frecuencia de la transferencia $GH(s)$

Gráfica de Bode: 

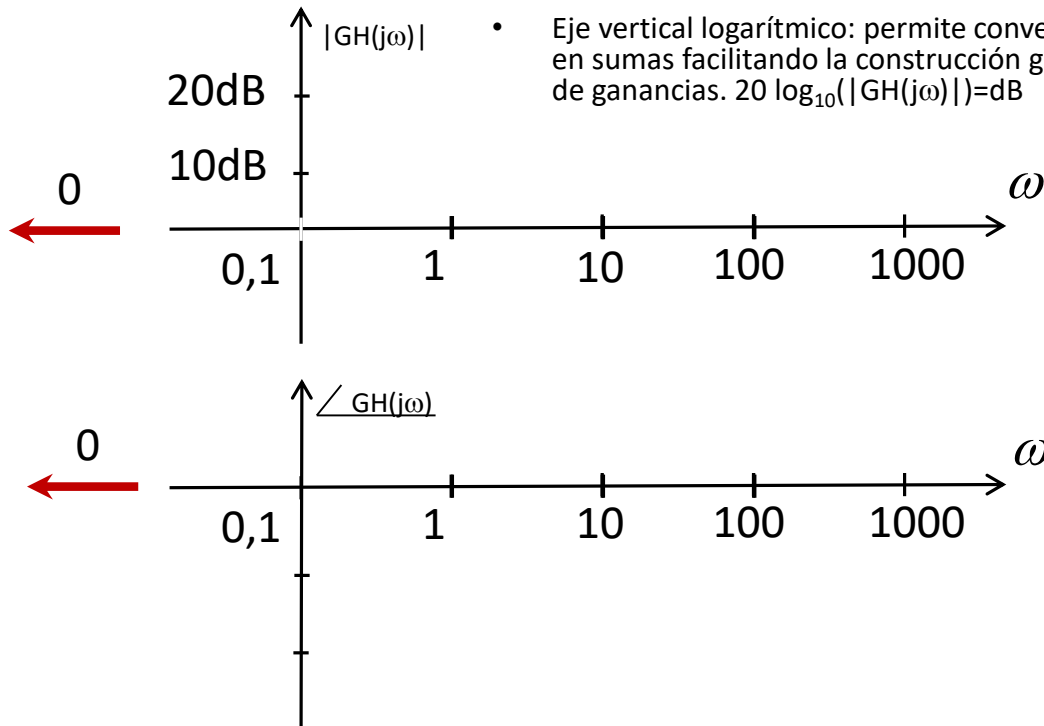
Gráfica de Módulo $\frac{KL_c}{L_a L_b L_d}$

Gráfica de Fase $(-\varphi_a - \varphi_b - \varphi_d + \varphi_c)$



GRÁFICA DE BODE

- Eje horizontal logarítmico ($\log_{10}(\omega)$): permite graficar un gran espectro de frecuencias en un gráfico reducido
- Eje vertical logarítmico: permite convertir las operaciones de productos de factores en sumas facilitando la construcción gráfica. Además permite comprimir la escala de ganancias. $20 \log_{10}(|GH(j\omega)|) = \text{dB}$



$$KG(j\omega)H(j\omega) = \frac{KL_c}{L_a L_b L_d} e^{-j(\varphi_a + \varphi_b + \varphi_d - \varphi_c)}$$

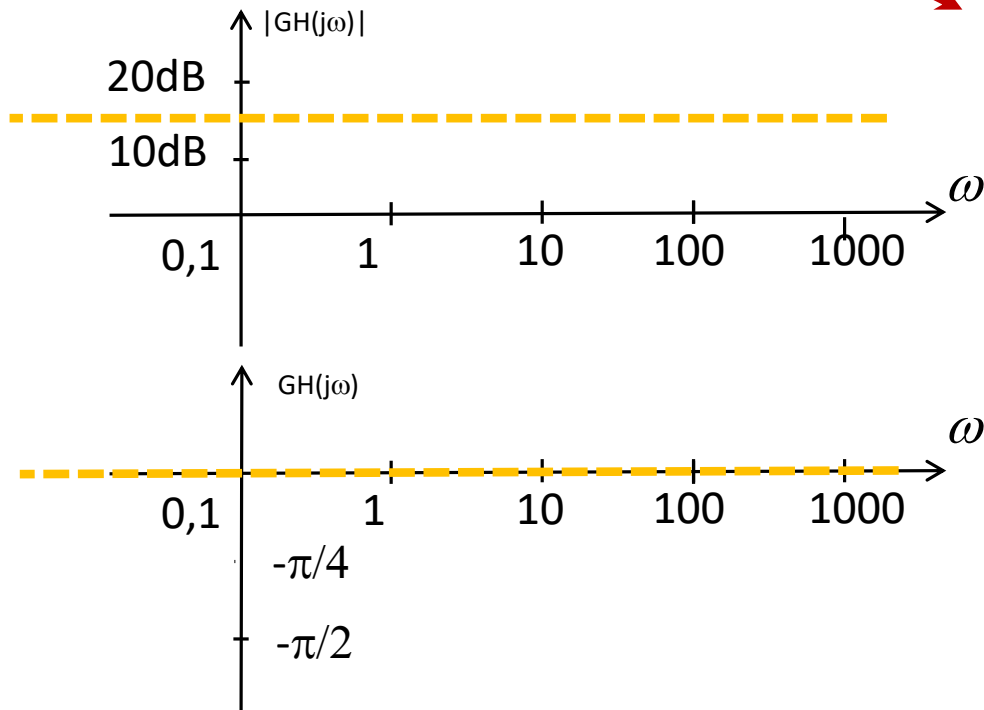
Módulo $\longrightarrow 20 \log_{10}(|GH(j\omega)|) = 20 \log K + 20 \log(L_c) - 20 \log(L_a) - 20 \log(L_b) - 20 \log(L_d)$

Fase $\longrightarrow -\varphi_a - \varphi_b - \varphi_d + \varphi_c$

GRÁFICA DE BODE

$$KG(s)H(s) = \frac{\pm K s^{n_1} \left(1 \pm \frac{s}{z_1}\right)^{n_2} \left(\frac{s^2}{\omega_n^2} \pm \frac{2\xi s}{\omega_n} + 1\right)^{n_3}}{s^{m_1} \left(1 \pm \frac{s}{p_1}\right)^{m_2} \left(\frac{s^2}{\omega_n^2} \pm \frac{2\xi s}{\omega_n} + 1\right)^{m_3}} \rightarrow \text{Forma de Bode}$$

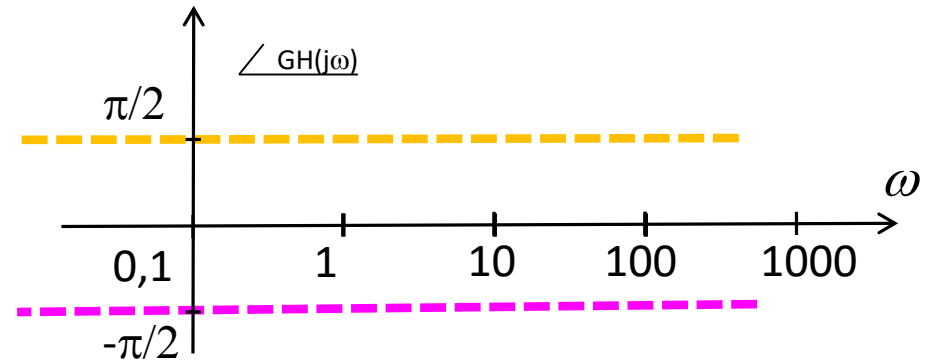
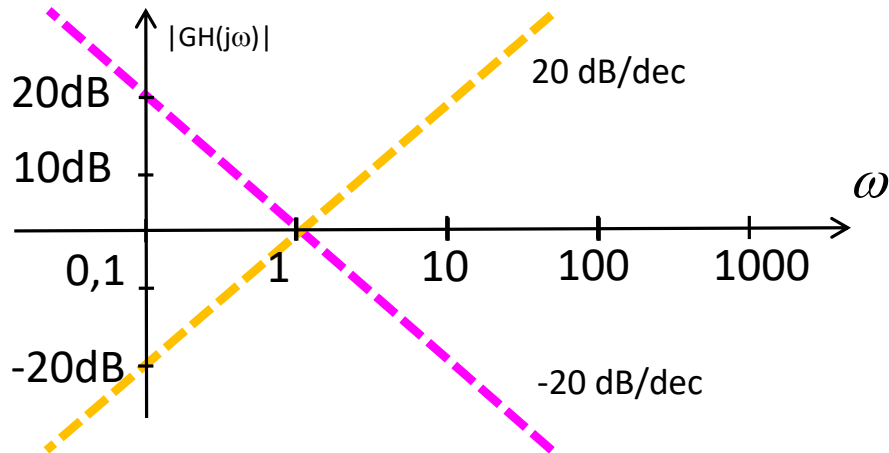
- Factor Ganancia $\rightarrow 20 \log_{10}(|K|) = xx \text{ dB}$
 - $K > 1$ positivo en dB
 - $K < 1$ negativo en dB



GRÁFICA DE BODE

$$KG(s)H(s) = \frac{\pm K s^{n_1} \left(1 + \frac{s}{z_1}\right)^{n_2} \left(\frac{s^2}{\omega_n^2} \pm \frac{2\xi s}{\omega_n} + 1\right)^{n_3}}{s^{m_1} \left(1 + \frac{s}{p_1}\right)^{m_2} \left(\frac{s^2}{\omega_n^2} \pm \frac{2\xi s}{\omega_n} + 1\right)^{m_3}} \rightarrow \text{Forma de Bode}$$

- Factores Integral/
Derivativo $\rightarrow s^{\pm 1}$
 - $20 \log(|j\omega|) = 20 \log(\omega)$ ó $20 \log(|j\omega|^{-1}) = -20 \log(\omega)$
 - $\text{tg}^{-1}(\omega/0) = \pi/2$ ó $\text{tg}^{-1}(-\omega/0) = -\pi/2$



GRÁFICA DE BODE

$$KG(s)H(s) = \frac{\pm K s^{n_1} \left(1 \pm \frac{s}{z_1}\right)^{n_2} \left(\frac{s^2}{\omega_n^2} \pm \frac{2\xi s}{\omega_n} + 1\right)^{n_3}}{s^{m_1} \left(1 \pm \frac{s}{p_1}\right)^{m_2} \left(\frac{s^2}{\omega_n^2} \pm \frac{2\xi s}{\omega_n} + 1\right)^{m_3}} \rightarrow \text{Forma de Bode}$$

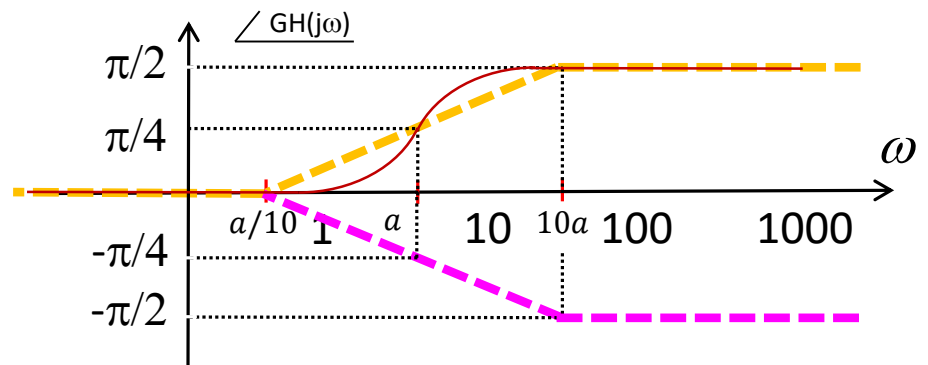
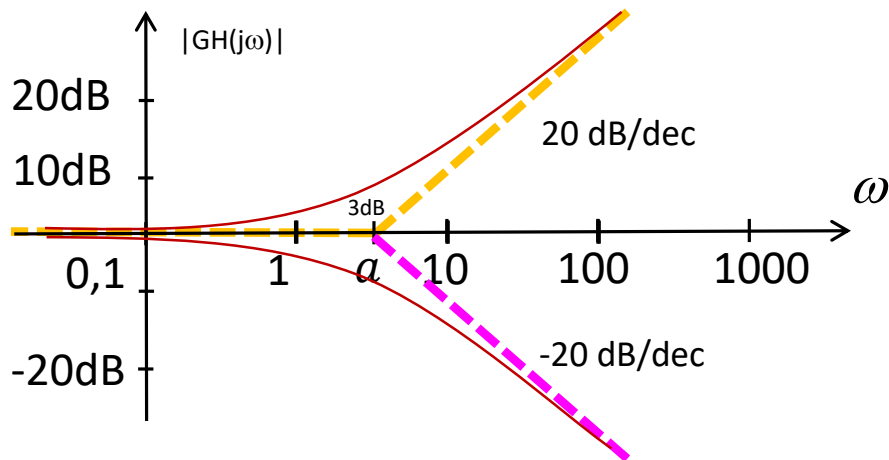
$$\omega \gg a \quad 20 \log(|j\omega/a|) = 20 \log(\omega/a)$$

$$\omega \ll a \quad 20 \log(|1|) = 0 \text{ dB}$$

- Factores 1er. Orden $\rightarrow (1 + s/a)^{\pm 1}$

Fase Mínima

$$\text{tg}^{-1}(\omega/a) \rightarrow \begin{array}{ll} \omega = 0 & 0 \\ \omega = a & \pi/4 \\ \omega = \infty & \pi/2 \end{array}$$



GRÁFICA DE BODE

$$KG(s)H(s) = \frac{\pm K s^{n_1} \left(1 \pm \frac{s}{z_1}\right)^{n_2} \left(\frac{s^2}{\omega_n^2} \pm \frac{2\xi s}{\omega_n} + 1\right)^{n_3}}{s^{m_1} \left(1 \pm \frac{s}{p_1}\right)^{m_2} \left(\frac{s^2}{\omega_n^2} \pm \frac{2\xi s}{\omega_n} + 1\right)^{m_3}}$$

Forma de Bode

$$\omega \gg a \quad 20 \log(|-j\omega/a|) = 20 \log(\omega/a)$$

$$\omega \ll a \quad 20 \log(|1|) = 0 \text{ dB}$$

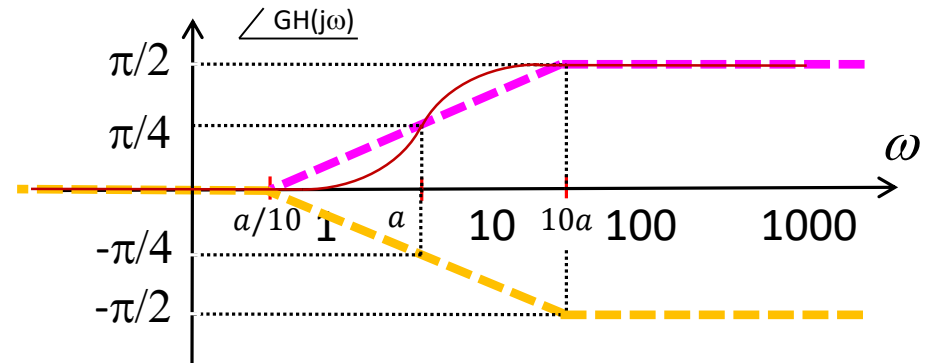
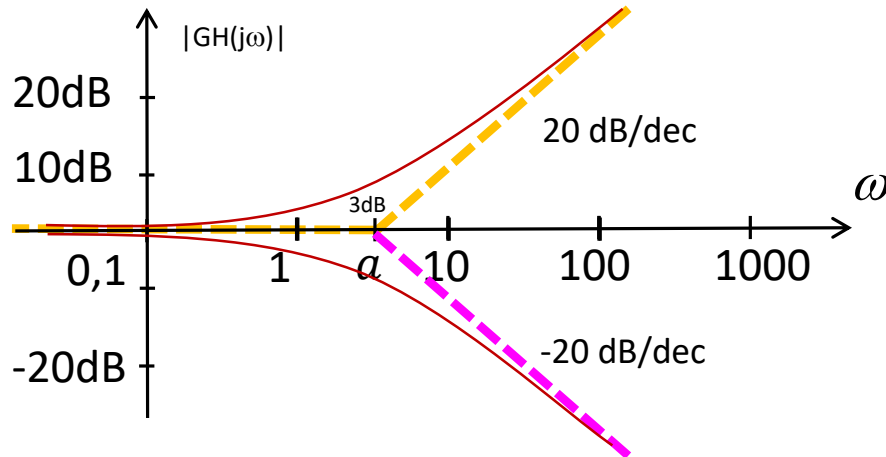
- Factores 1er. Orden $\rightarrow (1 - s/a)^{\pm 1}$

Fase No Mínima

$$\pm \text{tg}^{-1}(-\omega/a) \rightarrow \begin{array}{ccc} \omega=0 & 0 & 0 \\ \omega=a & -\pi/4 & \pi/4 \\ \omega=\infty & -\pi/2 & \pi/2 \end{array}$$

cero

polo



GRÁFICA DE BODE

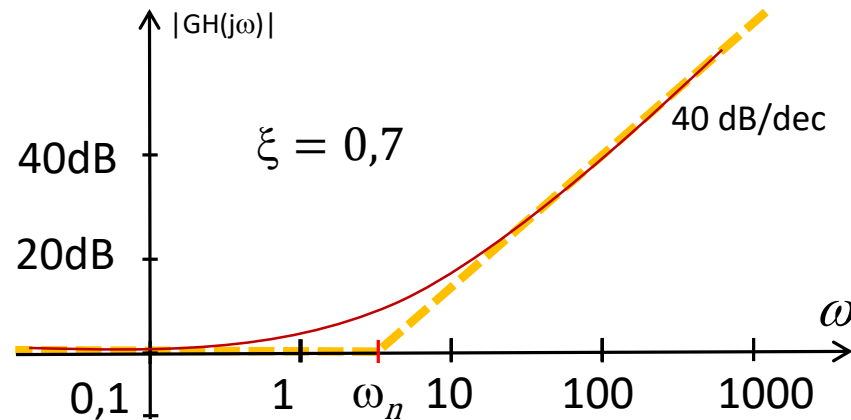
- Factores 2do.Orden $\rightarrow \left(\frac{s^2}{\omega_n^2} \pm \frac{2\xi s}{\omega_n} + 1 \right)^1 \rightarrow$

P. Real	$\left(1 - \frac{\omega^2}{\omega_n^2} \right)$
P Imag.	$\left(\pm \frac{2j\xi\omega}{\omega_n} \right)$

❖ Ceros mínima o no mínima fase

Módulo $\rightarrow 20 \log \sqrt{\left(1 - \frac{\omega^2}{\omega_n^2} \right)^2 + \left(\pm \frac{2\xi\omega}{\omega_n} \right)^2}$

$\omega \gg \omega_n \quad 20 \log \frac{\omega^2}{\omega_n^2} = 40 \log \frac{\omega}{\omega_n}$
 $\omega \ll \omega_n \quad 20 \log 1 = 0 \text{ dB}$

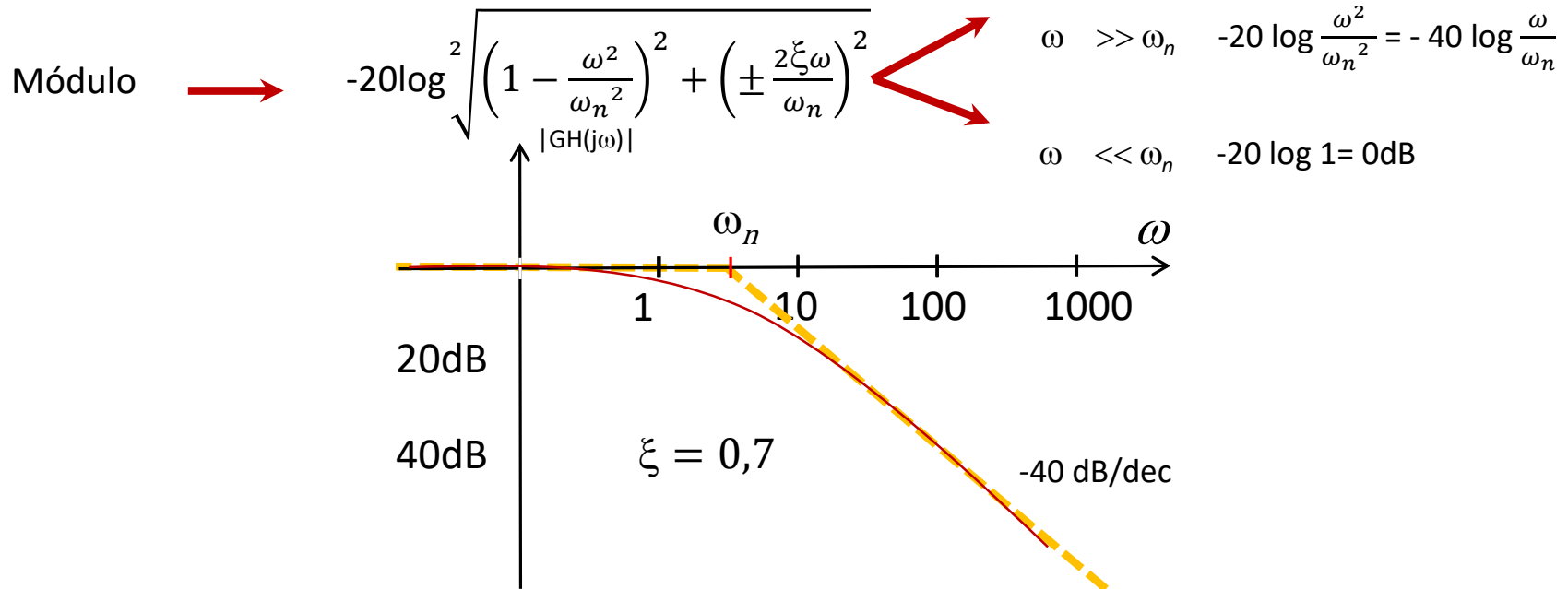


GRÁFICA DE BODE

- Factores 2do.Orden $\rightarrow \left(\frac{s^2}{\omega_n^2} \pm \frac{2\xi s}{\omega_n} + 1 \right)^{-1} \rightarrow$

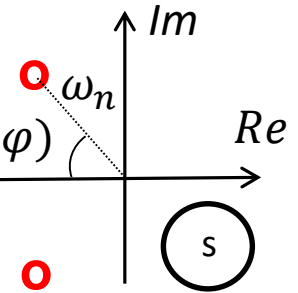
P. Real	$\left(1 - \frac{\omega^2}{\omega_n^2} \right)$
P Imag.	$\left(\pm \frac{2j\xi\omega}{\omega_n} \right)$

❖ Polos mínima o no mínima fase



GRÁFICA DE BODE

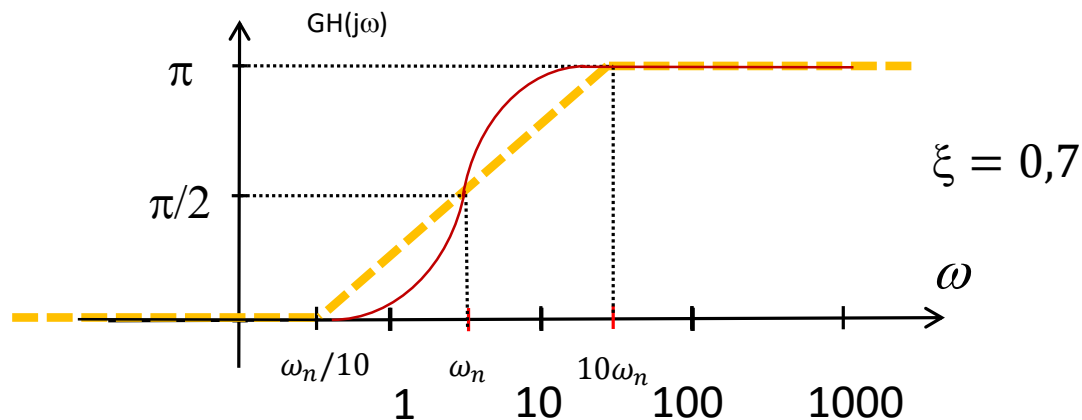
• Factores 2do.Orden $\rightarrow \left(\frac{s^2}{\omega_n^2} + \frac{2\xi s}{\omega_n} + 1 \right)^1 \rightarrow$ P. Real $\left(1 - \frac{\omega^2}{\omega_n^2} \right)$ P Imag. $\left(\frac{2j\xi\omega}{\omega_n} \right)$ $\xi = \cos(\varphi)$



❖ Ceros Fase Mínima

Fase $\rightarrow tg^{-1} \frac{\left(\frac{2\xi\omega}{\omega_n} \right)}{\left(1 - \frac{\omega^2}{\omega_n^2} \right)}$

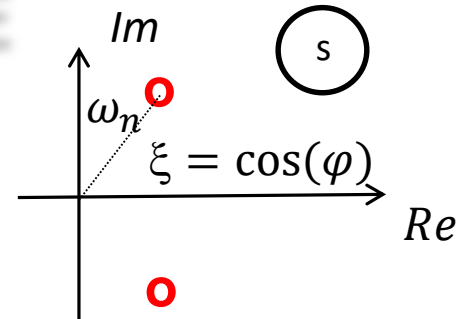
$\omega = 0 \rightarrow 0$
 $\omega = \omega_n \rightarrow tg^{-1} \frac{2\xi}{0} \rightarrow \pi/2$
 $\omega = \infty \rightarrow tg^{-1} \frac{\left(\frac{2\xi\omega}{\omega_n} \right)}{\left(-\frac{\omega^2}{\omega_n^2} \right)} \rightarrow \pi$



GRÁFICA DE BODE

Factores 2do.Orden $\rightarrow \left(\frac{s^2}{\omega_n^2} - \frac{2\xi s}{\omega_n} + 1 \right)^1 \rightarrow$

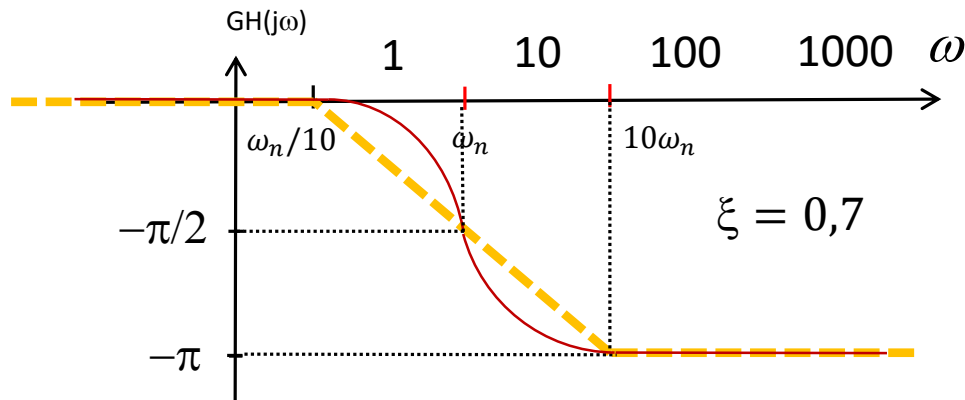
P. Real	$\left(1 - \frac{\omega^2}{\omega_n^2} \right)$
P Imag.	$\left(-\frac{2j\xi\omega}{\omega_n} \right)$



❖ Ceros Fase No Mínima

Fase $\rightarrow tg^{-1} \frac{\left(-\frac{2\xi\omega}{\omega_n} \right)}{\left(1 - \frac{\omega^2}{\omega_n^2} \right)}$

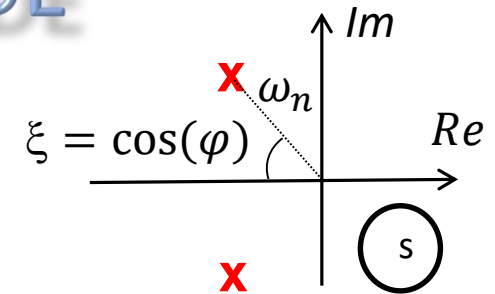
$\omega = 0$	0	
$\omega = \omega_n$	$tg^{-1} \left(\frac{-2\xi}{0} \right)$	$\rightarrow -\pi/2$
$\omega = \infty$	$tg^{-1} \left(\frac{\frac{2\xi\omega}{\omega_n}}{\left(-\frac{\omega^2}{\omega_n^2} \right)} \right)$	$\rightarrow -\pi$



GRÁFICA DE BODE

- Factores 2do.Orden

$$\rightarrow \left(\frac{s^2}{\omega_n^2} + \frac{2\xi s}{\omega_n} + 1 \right)^{-1} \rightarrow \begin{matrix} \text{P. Real} & \left(1 - \frac{\omega^2}{\omega_n^2} \right) \\ \text{P Imag.} & \left(\frac{2j\xi\omega}{\omega_n} \right) \end{matrix}$$

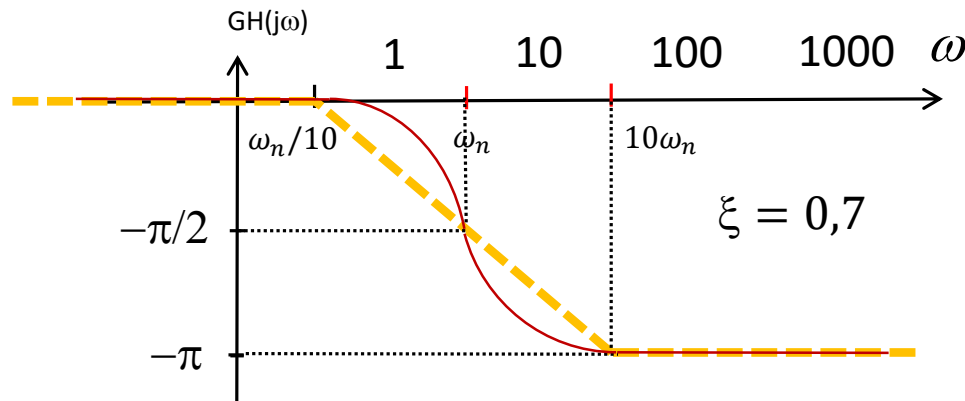


❖ Polos Fase Mínima

$$\text{Fase} \rightarrow -tg^{-1} \frac{\left(\frac{2\xi\omega}{\omega_n} \right)}{\left(1 - \frac{\omega^2}{\omega_n^2} \right)}$$

$\omega = 0$
 $\omega = \omega_n$
 $\omega = \infty$

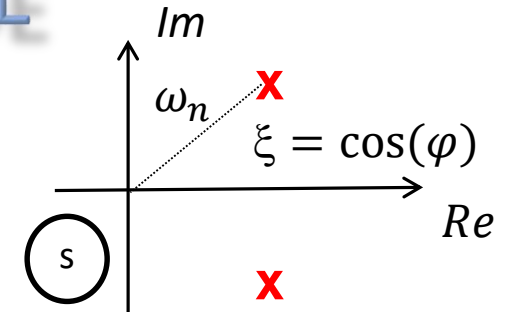
0
 $-tg^{-1} \frac{2\xi}{0} \rightarrow -\pi/2$
 $-tg^{-1} \frac{\left(\frac{2\xi\omega}{\omega_n} \right)}{\left(-\frac{\omega^2}{\omega_n^2} \right)} \rightarrow -\pi$



GRÁFICA DE BODE

• Factores 2do.Orden $\rightarrow \left(\frac{s^2}{\omega_n^2} + \frac{2\xi s}{\omega_n} + 1 \right)^{-1} \rightarrow$

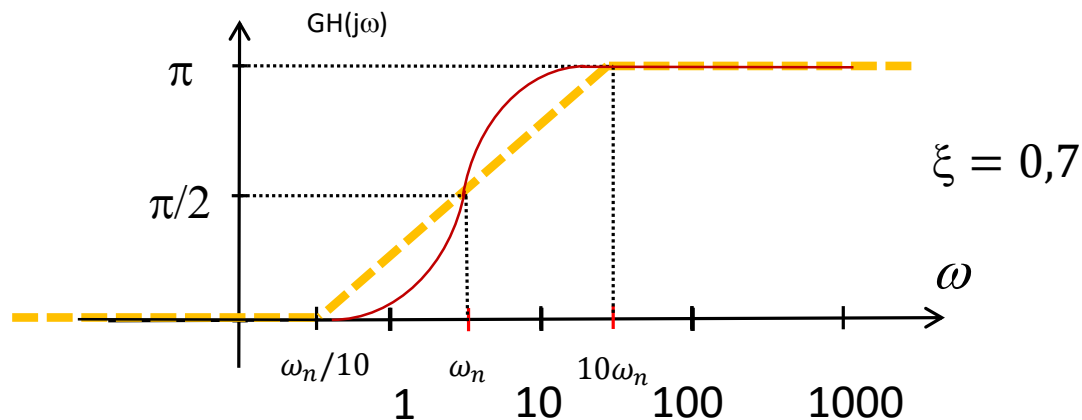
P. Real	$\left(1 - \frac{\omega^2}{\omega_n^2} \right)$
P Imag.	$\left(\frac{2j\xi\omega}{\omega_n} \right)$



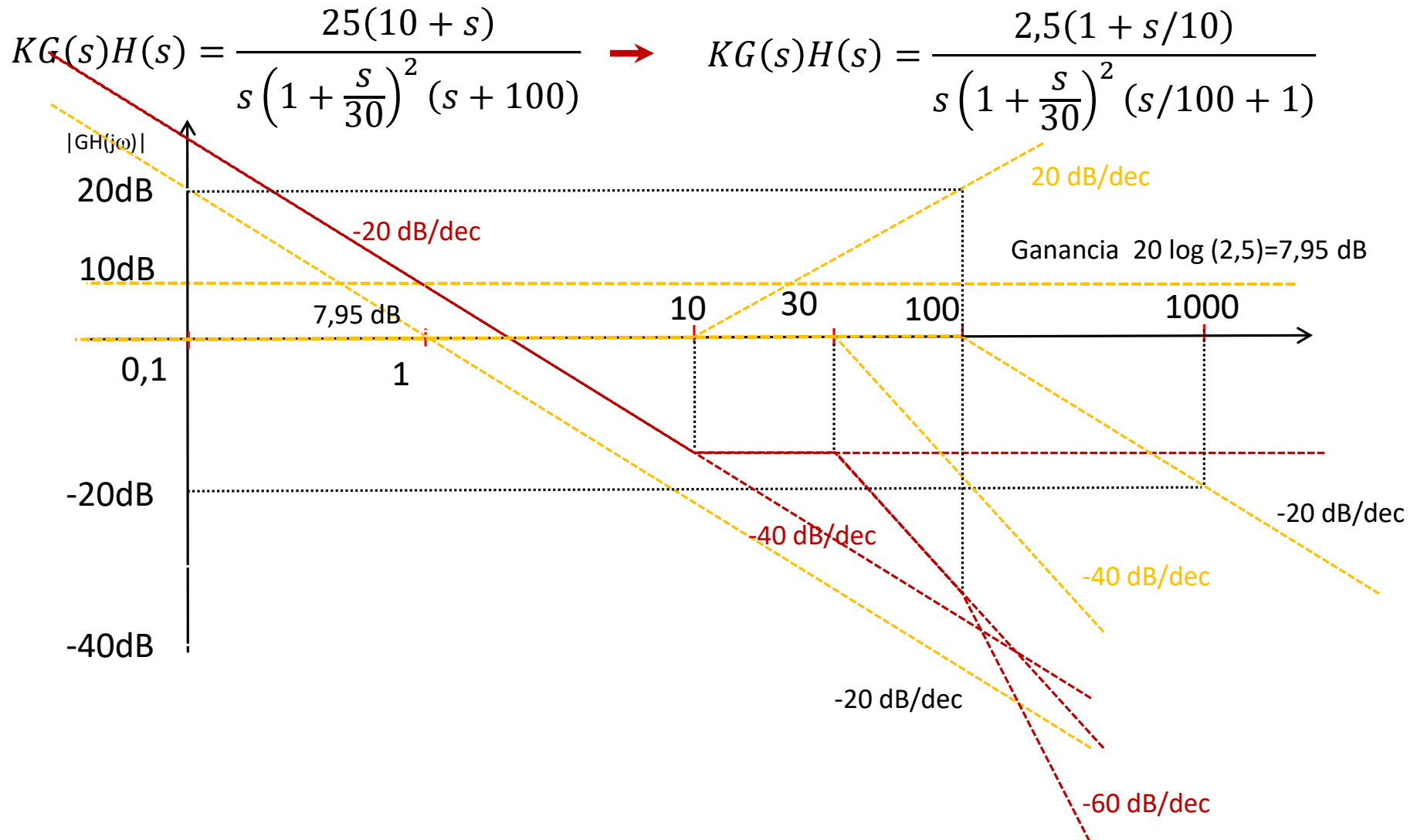
❖ Polos Fase No Mínima

Fase $\rightarrow -tg^{-1} \frac{\left(-\frac{2\xi\omega}{\omega_n} \right)}{\left(1 - \frac{\omega^2}{\omega_n^2} \right)}$

$\omega = 0$	0
$\omega = \omega_n$	$tg^{-1} \frac{2\xi}{0} \rightarrow \pi/2$
$\omega = \infty$	$tg^{-1} \frac{\left(\frac{2\xi\omega}{\omega_n} \right)}{\left(-\frac{\omega^2}{\omega_n^2} \right)} \rightarrow \pi$

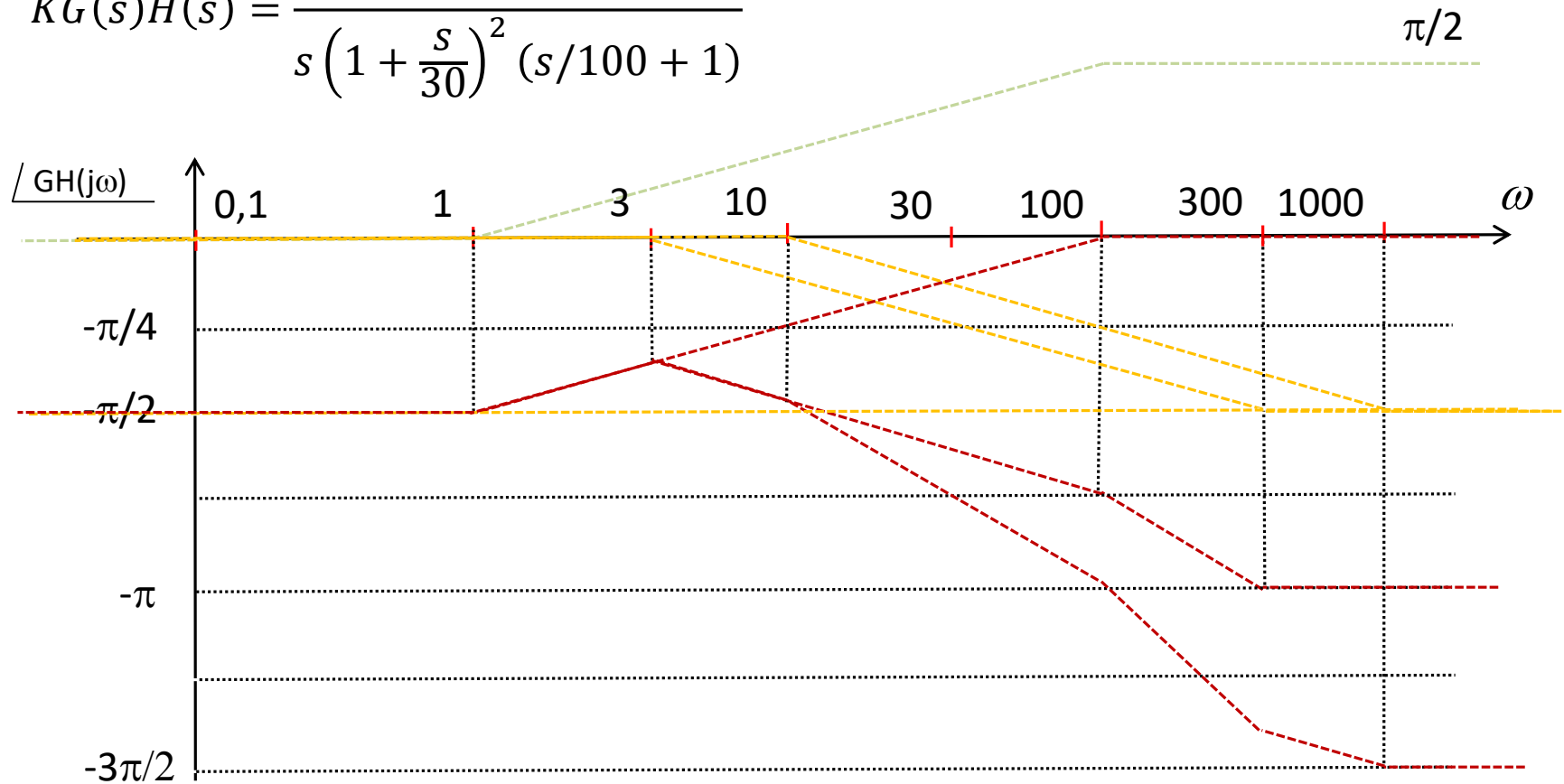


GRÁFICA DE BODE



GRÁFICA DE BODE

$$KG(s)H(s) = \frac{2,5(1 + s/10)}{s \left(1 + \frac{s}{30}\right)^2 (s/100 + 1)}$$



ESTABILIDAD POR BODE

$$T(s) = \frac{Y(s)}{R(s)} = \frac{KG(s)}{1 + KG(s)H(s)}$$

Ec. Característica

$$1 + KG(s)H(s) = 0$$

$$KG(s)H(s) = -1 \begin{cases} \rightarrow |KG(s)H(s)| = 1 \rightarrow \text{Frecuencia de transición de ganancia} \\ \rightarrow KG(s)H(s) = -180^\circ \rightarrow \text{Frecuencia de transición de fase} \end{cases}$$

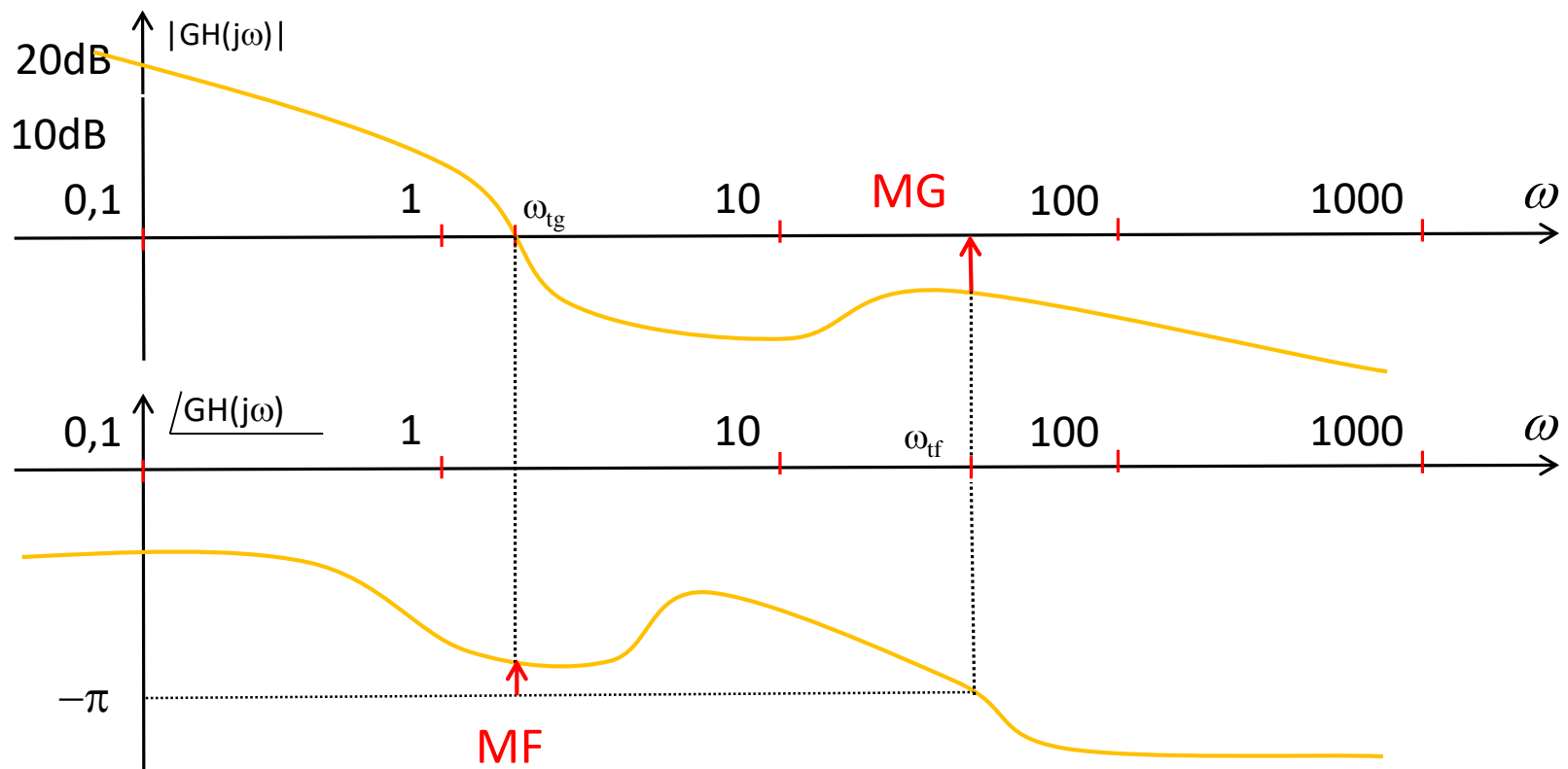
Margen de Ganancia: ganancia que debe aplicarse al sistema para que $|G(s)H(s)|=1$ en la frecuencia de transición de fase.

Margen de Fase: fase que debe adicionarse al sistema para que en la frecuencia de transición de ganancia posea -180° de fase.

ESTABILIDAD POR BODE

Margen de Ganancia: ganancia que debe aplicarse al sistema para que $|G(s)H(s)|=1$ en la frecuencia de transición de fase.

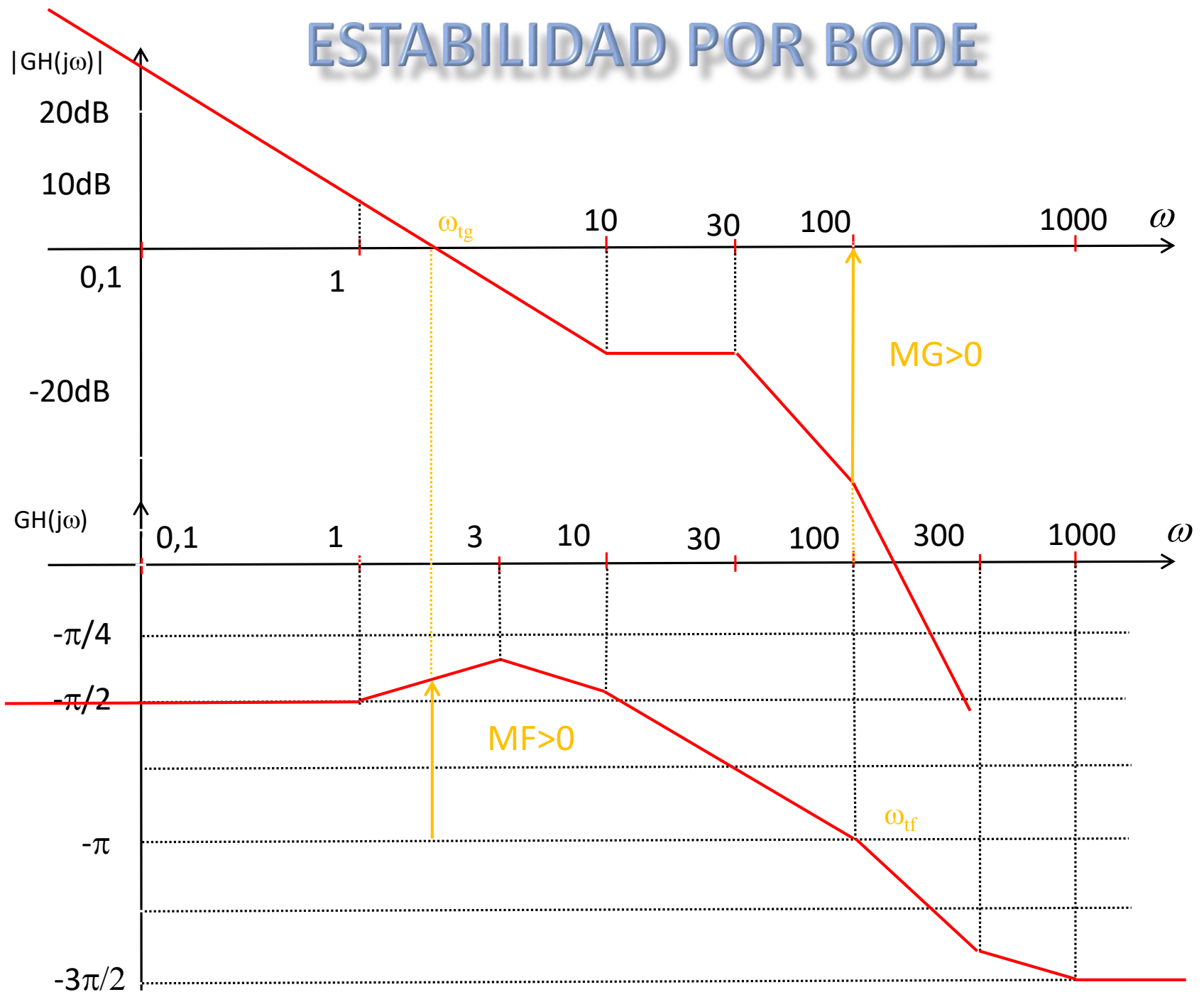
Margen de Fase: fase que debe adicionarse al sistema para que en la frecuencia de transición de ganancia posea -180° de fase.



ESTABILIDAD POR BODE

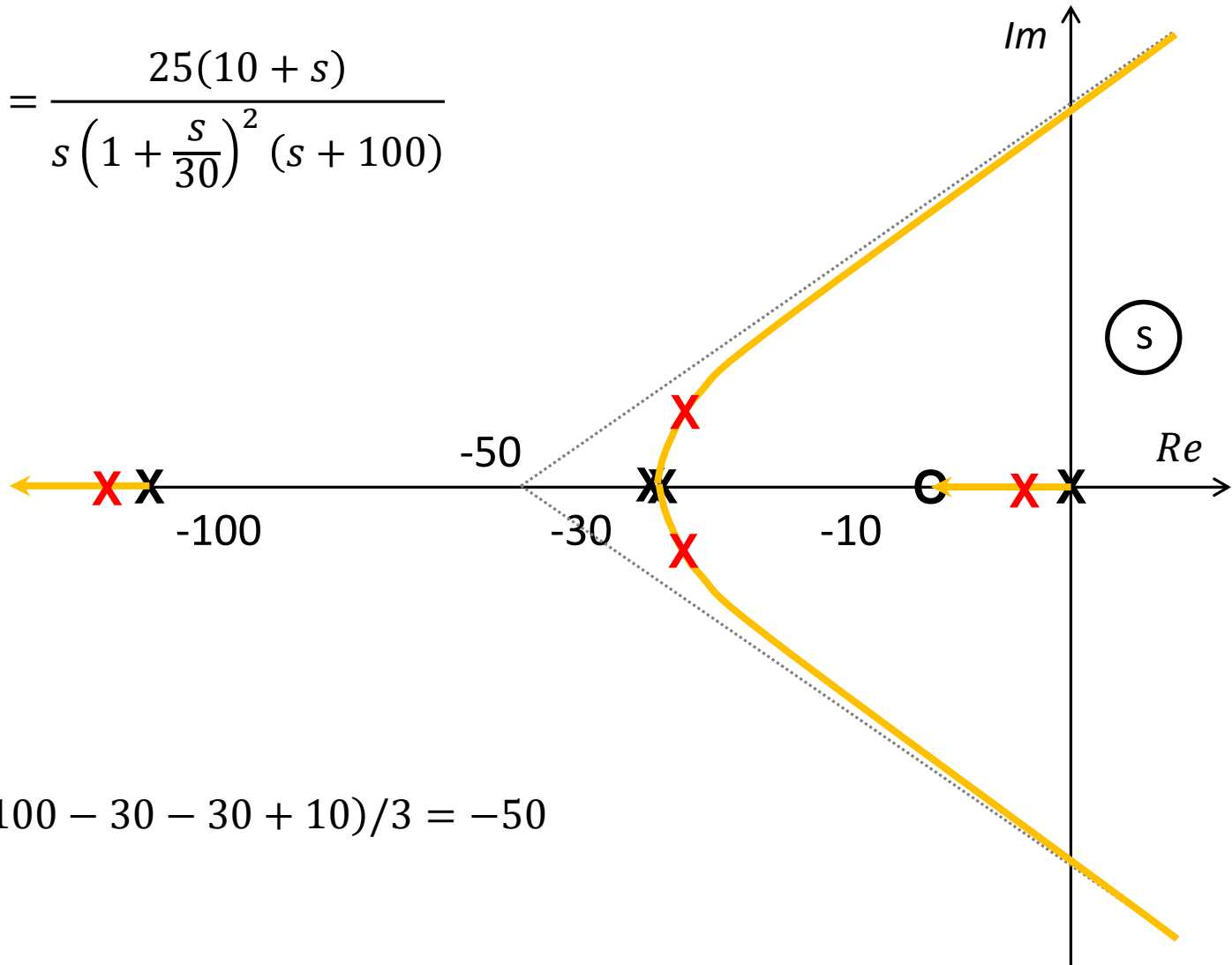
	MG>0	MG<0
MF>0	Estable	?
MF<0	?	Inestable

ESTABILIDAD POR BODE



RELACION CON LR

$$KG(s)H(s) = \frac{25(10 + s)}{s \left(1 + \frac{s}{30}\right)^2 (s + 100)}$$



$$\sigma_a = (-100 - 30 - 30 + 10)/3 = -50$$